

Otoyolda Trafik Akımının Modellenmesi ve Model Kalibrasyonu: İstanbul O1 Örneği

Hatice GÖÇMEN DEMİR*

Ergun GEDİZLİOĞLU**

Yusuf Kağan DEMİR***

ÖZ

Otoyol trafik akımında Değişken Hız Sınırması, Otoyol Katılım Kontrolü gibi trafik kontrol araçları ile iyileştirmeler yapılmaktadır ve trafik akımında oluşan şok dalgaları, kuyruklanma gibi istenmeyen trafik olayları önlenmektedir. Trafik kontrol araçlarının trafik akımına etkisini görmek için trafik akım modellerinden yararlanılır. Bu çalışmada İstanbul, O1 otoyolunun 2.5 km'lik kesimi, ikinci derece makroskopik trafik akım modeli METANET ile modellenmiştir. Çalışma kesimi iki katılma sahiptir. Kesimde doruk saatlerde, trafik tikanıklığı, şok dalgaları ve kuyruklanmalar oluşmaktadır. METANET modelinin karakteristik parametreleri MATLAB uygulamasıyla kestirilmiştir. Kalibrasyon için gerekli olan veriler (hız ve yoğunluk) CORSIM simülasyon yazılımindan alınmıştır. Kalibre edilen METANET modelinin çalışma bölgesindeki trafik akımını başarılı şekilde tahmin ettiği görülmüştür. Çalışmadan elde edilen METANET modeli trafik kontrol çalışmalarında tahmin modeli olarak kullanılabilecektir.

Anahtar Kelimeler: METANET, trafik akımı, simülasyon, kalibrasyon.

ABSTRACT

Modeling and Model Calibration of Traffic Flow on Freeway: Istanbul O1 Example

Many traffic control tools such as Variable Speed Limits (VSL), Ramp Metering, etc are applied to improve freeway traffic flow and through these tools various undesirable phenomena like shock waves and queues on traffic flow can be eliminated or reduced. The aim of this study is to analyze a 2.5 km section of O1 Freeway in Istanbul and to model it analytically with a macroscopic analytical traffic flow model METANET. The section under consideration has two merges. Traffic congestion, shock waves and queues occur on the section in rush hours. The fundamental parameters of METANET were estimated by using MATLAB. Data needed (speed and density) to estimate METANET parameters were collected from CORSIM simulation software calibrated for this section. The

Not: Bu yazı

- Yayın Kurulu'na 29.04.2013 günü ulaşmıştır.
- 31 Aralık 2014 gününe kadar tartışmaya açıktır.

* Niğde Üniversitesi, İnşaat Mühendisliği Bölümü, Niğde - hgocmen@gmail.com

** İstanbul Teknik Üniversitesi, İnşaat Mühendisliği Bölümü, İstanbul - ergun.gediz@gmail.com

*** Gaziantep Üniversitesi, İnşaat Mühendisliği Bölümü, Gaziantep - ykdemir@gmail.com.tr

calibrated METANET model was able to represent traffic flow on the section successfully. It is expected that the calibrated METANET model can be used for performing studies on traffic control for a forecasting model.

Keywords: METANET, traffic flow, simulation, calibration.

1. GİRİŞ

Trafik tıkanıklığı büyük kentlerin önemli sorunları arasında yer alır. Kentsel alanlarda büyümeyeyle birlikte kentiçi otoyollar da tıkanmaya başlamıştır. Çözüm olarak yeni yolların yapılması, toplu taşıma arasında bütünlüğünün sağlanması veya altyapının daha iyi kullanılması seçeneklerinin kullanımı gündeme gelmektedir. Yeni yolların inşası ve toplu taşımada bütünlüğünün sağlanması uzun vadeli projelerde yer alan, büyük yatırımlar gerektiren yüksek maliyetli uygulamalardır. Bunun yanında alt yapının daha iyi kullanılması için trafik yönetimi çalışmaları yapılır. Bunlar taşıt trafiğini düzene sokmak ve trafik akımlarının kabul edilebilir hızla akmalarını sağlamak amacıyla yapılan uygulamalardır [1]. Otoyollarda Akıllı Ulaştırma Sistem (AUS) bileşenleri ile yapılan dinamik trafik kontrolüne yönelik uygulamalar bu amaçla yapılır. Şerit Yönetimi, Değişken Hız Sınırması (DHS), Şerit Kullanım Kontrolü, Otoyol Katılım Kontrolü (OKK) en bilinen uygulamalardandır. Değişken Hız Sınırması otoyolda hâkim olan trafik, çevre ve yol şartları gözlemlenerek, otoyolda dinamik olarak değişen hız sınırları uygulanmaktadır. Katılım kontrolünün basit özeti, otoyol katılımına trafik işiği yerleştirilerek taşıtların otoyola kontrollü katılmalarının sağlanmasıdır. Bu tip kontrol çalışmalarının trafik akımında yarattığı etkilerin belirlenmesi ve dinamik olarak uygulanabilmesi için trafik akımının modellenmesine ihtiyaç duyulur.

Trafik akım modelleri modelleme yaklaşımlarına göre makroskopik, mikroskopik ve mezoskopik olmak üzere sınıflandırılır. Mikroskopik trafik akım modelleri tekil taşıtların dinamiğini ve birbirine olan etkileşimi tanımlamaktadır (örneğin taşıt takip modelleri ve hücresel özdevinir modeller). Mezoskopik trafik akım modelleri mikroskopik taşıt dinamiğini makroskopik boyutta bir fonksiyon olarak açıklamaktadır (örneğin gaz kinetik modeller) [2]. Mezoskopik Modeller aynı karakteristik özellik taşıyan taşıtları toplulaştırarak makroskopik trafik akım dinamikleri ve yol seçim modeline göre ağıın içinde hareket ettirmektedir [3]. Makroskopik akım modelleri toplu taşıt dinamiğini yoğunluk (taşıt/km), akım (taşıt/saat) ve hız (km/saat) olmak üzere toplulaştırılmış değişken terimleri ile tanımlamaktadır (örneğin akışkan dinamik modeller) [2]. Makroskopik modeller trafik akımını sürekli akışkan olarak ele almaktadır. Tekil taşıtların davranışını yerine toplulaştırılmış taşıtların davranışlarını dikkate alınmaktadır. Uygulamada bu yöntem taşıt davranışlarının gözlem ve ölçümlerini kolaylaştırmaktadır. Taşıt trafiği suyun akışına çok benzemesi de yeterli benzerlikler hidrodinamik teoriyi taşıt dinaminiğini açıklamakta faydalı hale getirmektedir [2]. Makroskopik modeller kontrol stratejilerinin tasarımda etkilidir. Bunun nedeni trafik akım sürecini analitik olarak modellemesi ve daha az hesaplama zamanı gereklidir [3].

Lighthill ve Whitham [4] ve bunlardan bağımsız olarak Richards [5] trafik akımı ile akışkan dinamiği arasındaki benzerlikten hareketle ilk dinamik trafik akım modelini ortaya koymustur. Model literatürde Lighthill-Whitham-Richards (LWR) modeli olarak geçmektedir. Birinci derece LWR modeli literatürde kinematik dalga modeli veya

hidrodinamik model olarak da anılmaktadır. LWR modeli; süreklilik eşitliği, temel diyagram eşitliği ve hız v ile yoğunluk ρ arasında ilişkiden türetilen dengedeki hız [$V_d(\rho)$] eşitliğinden oluşmaktadır (Literatürde Greenshields'den [6] başlamak üzere hız v ile yoğunluk ρ arasında çeşitli matematiksel formüller türetilmiştir). LWR modeli öğretici ve teorik olarak açık bir modeldir. Fakat modelin eksik tarafları vardır. LWR modelinde hız yoğunluğu bağlı olarak $V_d(\rho)$ ile bulunur. Bu durum yoğunluk değişimlerinin büyük olduğu yerlerde gerçek dışı sonuçlar vermektedir. Model ayrıca trafik akımındaki kararsızlıklar tahmin edememektedir. Payne [7] LWR modelinin zayıflıklarını gidermek amacıyla, LWR modeline ikinci bir eşitlik (ortalama hız eşitliği) ilave etmiştir. METANET modeli, geliştirilen trafik akım modelleme süreçlerinde, Papageorgiou'nun [8], Payne'nin [7] modelinin ikinci eşitliği olan ortalama hız eşitliğine, ilave terimler eklenmesiyle ortaya çıkmıştır. Bu şekilde METANET, ikinci derece, deterministik makroskopik trafik akım modelidir. Daganzo [9] ortaya koyduğu CTM (Cell Transmission Model) modeli ise geniş ağlarda ve gerçek zamanlı uygulamalarda tercih edilmektedir [10]. 1. ve 2. Derece makroskopik trafik akım modellerin teorik yönü ve uygulanabilirliği pek çok çalışmada tartışılmıştır ([8], [9], [11]). Daganzo [9] ile Papageorgiou vd. [11]'in çalışmaları bu tartışmaların merkezindedir. Daganzo'nun [9] temel eleştirişi 2.derece modelde (Payne Modeli) negatif hız ve akımların oluşabileceği yönündedir. Papageorgiou [8], geliştirmiş olduğu ikinci derece Model'in (METANET) yukarıda sayılan 1. derece modeldeki (LWR) eksiklikleri ortadan kaldırduğunu, trafik akım modellerin empirik model olması ve negatif hız/akım olusma durumunda, bu değerlerden maksimum değeri, yani sıfır değerinin alınmasını önermektedir.

Bu çalışmada, Papageorgiou vd. [12]'nin geliştirdiği, Hegyi [13] 'nin şerit iptali, otoyol katılımının trafik akımına etkisini dikkate alarak düzenlediği makroskopik trafik akım modeli METANET, otoyoldaki trafik akımının modellenmesi için kullanılmıştır.

METANET modelinin tercih edilmesinin başlıca nedenleri;

- Yol kesimlerindeki katılımların ve otoyol şerit iptali durumunun trafik akımı üzerinde yarattığı etkilerin öngörüsü
- Katılım kontrol ve DHS gibi kontrol eylemlerinin trafik akımında yarattığı etkilerin öngörüsü
- Şişeboyunlarda yoğunluk değişimlerinin büyük olduğu durumlarda, şok dalgasının etkisi
- Taleplerdeki değişimlerin çalışma bölgesindeki trafik değişkenlerine olan etkileri ve kuyruklanma tahmini yapabilmesidir.

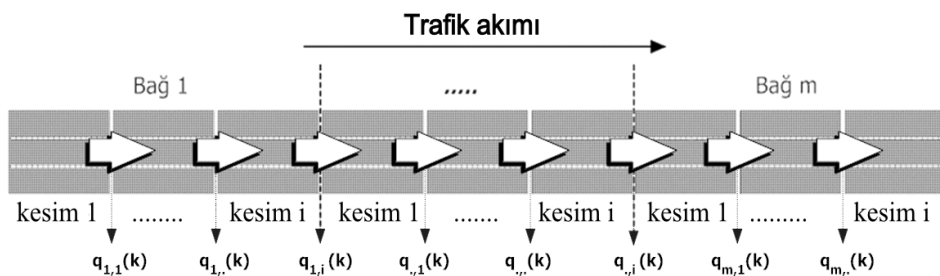
METANET modelinin çalışma bölgesindeki trafik akımını tahmin etmesi modele ait parametrelerin kestirilmesi gerekmektedir. Bunun için çalışma bölgesinin geometrik özelliklerinin tanımlanması, METANET kalibrasyonu için uygun veri matrislerinin hazırlanması gereklidir. Kalibrasyon, METANET modelinin, araziden ölçülen gözlem matrisini kabul edilen hata oranıyla üreten parametrelerin bulunmasıyla tamamlanır. Kalibrasyon parametreleri için sınır değerler tanımlandığında, problem sınır değerli enyileme problemine dönüsür. Çalışmada, enyileme işlemi için MATLAB içinde yer alan fmincon yerleşik fonksiyonu kullanılmıştır. Bu fonksiyon arduşık kuadratik programlama

algoritması kullanarak eniyileme yapmaktadır. METANET parametreleri bu program yardımıyla kestirilmiştir.

2. METANET MODELİ

METANET modeli uygulamasında trafik durum değişkenleri, zaman adımı (k) ve yol kesimleri (i) için tanımlanır. METANET ayrık yol ve zaman vektörlerine karşılık gelen üç adet trafik durum değişkeni matrisi hesaplar. Bunlar ortalama hız (v), yoğunluk (ρ) ve bu iki değişkenden türetilmiş akım (q) matrisidir.

METANET modelinde çalışma kesimi bağılardan ve bunların birleştiği düğüm noktalarından oluşur. Ancak bağılar (m), bağıları oluşturan kesimler (i) olmak üzere daha küçük parçalara ayrılır (Şekil 1). Örneğin Şekil 1'de bağı 1 kesim 1 için akım değeri $q_{1,1}(k)$ ile gösterilir. Aynı bağa ait kesimlerdeki durum değişkenleri hesaplanırken, bağı ait kalibre edilmiş parametreler kullanılır. Bu nedenle kesimler akıma ait karakteristik değişikliklerin olduğu yerlere göre belirlenirler. Şerit sayısındaki değişimler, katılımlar, kesimin farklılığı noktası noktalardır ve düğüm noktaları buralara yerleştirilir.



Şekil 1. Çalışma bölgесinin METANET geometrisi

METANET sürücülerin yol seçim davranışını dikkate alması durumunda varış tabanlı olarak bir yol kesimindeki trafik akımını modelleyebilir. Bu tip modellemede kesimden geçen trafik, kesimin bitiş noktasındaki düğümden farklı bağılara dağıtılmıştır. Bu dağıtım, kesime giren trafığın farklı hedeflerdeki talebine bağlıdır. Bu çalışmada varış tabanlı METANET modeli kullanılmadığından bu ayrıntıya girilmeyecektir. Bununla ilgili ayrıntı bilgi için [14]'e bakılabilir.

Buna göre METANET modeli m bağıının, i kesimi k zaman adımda yoğunluk (ρ), ortalama hız (v) ve akım (q) hesabı için aşağıdaki eşitlikler kullanılır.

$$\begin{aligned}\rho_{m,i}(k+1) &= \rho_{m,i}(k) + \frac{T_{sim}}{\lambda_m L_{m,i}} [q_{in}(k) - q_{out}(k)] \\ q_{in}(k) &= q_{m,i-1}(k) \\ q_{out}(k) &= q_{m,i}(k)\end{aligned}\quad (1)$$

$$\begin{aligned}v_{m,i}(k+1) &= v_{m,i}(k) \\ &+ \frac{T_{sim}}{\tau_m} \cdot (V_d[\rho_{m,i}(k)] - v_{m,i}(k)) \\ &+ \frac{T_{sim}}{L_{m,i}} \cdot v_{m,i}(k) \cdot (v_{m,i-1}(k) - v_{m,i}(k)) \\ &- \frac{\eta_m \cdot T_{sim}}{\tau_m \cdot L_{m,i}} \cdot \frac{\rho_{m,i+1}(k) - \rho_{m,i}(k)}{\rho_{m,i}(k) + \kappa_m} \\ &- \left(\frac{\delta_m \cdot T_{sim}}{L_{m,i} \cdot \lambda_m} \right) \frac{q_{on,m,1}(k) \cdot v_{m,1}(k)}{\rho_{m,1}(k) + \kappa_m}\end{aligned}\quad (2)$$

$$q_{m,i}(k+1) = \lambda_m \cdot \rho_{m,i}(k+1) \cdot v_{m,i}(k+1) \quad (3)$$

Eşitliklerdeki terimler;

$\rho_{m,i}(k+1)$: $k+1$ zaman adımında m bağı, i kesiminde yoğunluk [*taşit/km/şerit*]

$q_{m,(i-1)}(k)$: k zaman adımında, m bağı ($i-1$) kesiminden çıkan akım [*taş/sa*]

$q_{m,(i)}(k)$: k zaman adımında m bağı i kesiminden çıkan akım [*taş/sa*]

$\rho_{m,(i)}(k+1)$: $k+1$ zaman adımında m bağı i kesimindeki yoğunluk [*taşit/km/şerit*]

$v_{m,i}(k)$: k zaman adımında, m bağıının, i kesimindeki ortalama hız [*km/sa*]

$v_{m,(i)}(k+1)$: $k+1$ zaman adımında m bağı i kesimindeki ortalama hız [*km/sa*].

$q_{m,(i)}(k+1)$: $k+1$ zaman adımında m bağı i kesiminden çıkan akım [*taş/sa*]

$v_{m,1}(k)$: Katılımin olduğu bağdaki kesimin ortalama hızı [*km/sa*].

$\rho_{m,1}(k)$: Katılımin olduğu bağdaki kesimin yoğunluğu [*taşit/km/şerit*]

T_{sim} : k ve $k+1$ zaman adımları arasındaki süre [*s*]

λ_m : m bağıının şerit sayısı

τ_m : m bağında denge terimine ait zaman sabiti [*s*]

V_d : Dingedeki hız değeri, yoğunluğun bir fonksiyonudur [*km/sa*].

$L_{m,i}$: m bağına ait i kesiminin uzunluğu [*km*]

η_m	: Öngörü terimine ait parametre [km^2/sa]
$v_{m,i-1}(k)$: k zaman adımda akım yukarı kesime ait hız [km/sa]
$\rho_{m,i+1}(k)$: k zaman adımda akım aşağı kesime ait yoğunluk [$taş/km/şerit$]
κ_m	: Öngörü terimine ait parametre [$taş/km$]
δ_m	: Otoyol katılımının çıkışının hızına etkisini belirten faktör
$q_{on,m,1}(k)$: m bağının ilk kesimine katılımdan giren akım [$taş/sa$]

τ_m, η_m, κ_m parametreleri her bağ için ayrı ayrı kestirilebileceği gibi tüm çalışma bölgelerindeki bağlar için aynı kabul edilerek (τ, η, κ) kestirilebilir. Bu çalışmada (τ, η, κ) parametreleri tüm bağlar için eşit kabul edilmiştir. (2) numaralı eşitliğin en son terimi ise katılım akımlarının anaakım ortalamaya hızına etkisini hesaplar.

Ortalama hız eşitliği (2) METANET'in en uzun ve karmaşık eşitliğidir. Bunun nedeni, METANET'in hesap yapılan kesimde ortalama hızlarla ilgili birçok etkeni dikkate alarak hesaplamasıdır. Bu etkiler ortalama hız eşitliği içindeki terimler aracılığıyla tanımlanır. Eşitlik (2) deki ikinci terim olan denge (relaxation) terimi kesimdeki sürücülerin hızının, denge hızına doğru evrimleşmesini temsil eder. METANET modelinde dengedeki ortalama hız ile akım arasında ilişki için Kotsialos ve Papageorgiou [3] ve Hegyi [13]'nin kullandığı aşağıdaki hız eşitliği kullanılmıştır.

$$V_d[\rho_{m,i}(k)] = v_{f,m} \exp \left[-\frac{1}{a} \left(\frac{\rho_{m,i}(k)}{\rho_{cr,m}} \right)^a \right] \quad (4)$$

(a) model parametresi, (v_f) (m) bağındaki serbest hız, $\rho_{cr,m}$; (m) başına ait kritik yoğunluk ($taş/km/şerit$) değeridir. Eğer kalibre edilmiş METANET modeli, kontrol problemlerinde kullanılacaksa, Eşitlik (4) yerine aşağıda hız sınırlarını içeren fonksiyonu kullanılır [13].

$$V_d[\rho_{m,i}(k)] = \min \left\{ (1+\epsilon) \cdot v_{ctr,m,i}(k), v_{f,m} \cdot e^{-\frac{1}{a} \left(\frac{\rho_{m,i}(k)}{\rho_{cr,m}} \right)^a} \right\}, \epsilon \in [-1, 1] \quad (5)$$

Bu eşitlikte yer alan $v_{ctr,m,i}(k)$ anında uygulanan hız (km/sa) sınırlamasıdır. ϵ sürücülerin hız sınırlarına uymalarını temsil eden bir değeridir.

Sürücü bulunduğu yol kesiminden bir sonrakine geçtiğinde hızı farklıysa mevcut hızını girdiği yol kesimdeki hız'a göre ayarlar. Ancak bu durum hemen oluşmayacaktır, mevcut kesimin ortalama hızı bundan etkileneciktir. Bir önceki kesimdeki hızın bir sonraki kesime olan etkisi (2) eşitliğinde üçüncü terim olan uyarlama (convection) terimi ile yansıtılmaktadır.

Sürücü bulunduğu yol kesimini terk etmek üzereyken bir sonraki kesimdeki yoğunluğu fark ederek kesimi terk etmeden hızını bir sonraki duruma uydurmak ister. Bu istek hesap

yapılan kesimdeki ortalama hızda değişime neden olur ve bu değişimde öngörü (anticipation) terimi ile ortalama hızı yansıtılır. Ancak Eşitlik (2) deki öngörü terimine ait değerin hesaplanmasında kullanılan model parametresi $\eta_{m,i}$ koşullu parametredir. Şok dalgası nedeniyle kuyruklanma oluştuğunda, kesimler arası yoğunluk farkına göre sürücü davranışları farklılık gösterir. Bu durumda parametre seçimi aşağıdaki koşula göre belirlenir.

$$\eta_m = \begin{cases} \eta_{m,high}, & \rho_{m,i+1}(k) \geq \rho_{m,i} \\ \eta_{m,low}, & \rho_{m,i+1}(k) < \rho_{m,i} \end{cases} \quad (6)$$

Yol geometrisindeki değişimlerin ortalama hızı etkisi, Eşitlik (2)'de yer alan katılım (merge) ve şerit daralma parametreleri ile eklenir. Bunlarla ilgili ayrıntılı bilgi [13]'de verilmiştir. Eşitlik (1), Eşitlik (2) ve Eşitlik (3) seçilen çalışma bölgesi için yoğunluk, ortalama hız ve akım matrisi üretir. Matrislerin satır sayısı zaman adımını (k), sütun sayısı ise yol kesimlerini (i) göstermektedir. İlk ve son kesimlerdeki yoğunluk ve ortalama hızı hesaplamaları için METANET sınır şartları adı altında eşitlikler kullanılır. Bu eşitliklerle ilgili ayrıntılı bilgiye [15] 'den bakılabilir.

Variş tabanlı olmayan METANET ağında bir düğüme n adet bağdan gelen trafik akımı, düğümden çıkan bağınlara aşağıdaki gibi dağıtılr.

$$Q_n(k) = \sum_{\mu \in I_n} q_\mu N_\mu(k) \quad (7)$$

$$q_{m,0}(k) = \beta_n^m(k) Q_n(k) \quad \forall m \in O_n \quad (8)$$

Eşitlikte, I_n n düğümüne giren bağı, O_n ise bu düğümden ayrılan bağı kümесini göstermektedir. Düğüme giren k anındaki toplam trafik akımı $Q_n(k)$ eşitlik (7) ile hesaplanır. Düğümden çıkan trafik akımı ise her bağı için β_n^m katsayısı kullanılarak hesaplanır. β_n^m kavşaklardaki n düğümünden m bağına giden k zaman adımındaki dönüş oranlarını göstermektedir.

3. METANET MODELİNİN KALİBRASYONU

Kalibre edilmiş METANET modeli, araziden gelen gözlem matrislerine (CORSIM) yakınsayan yoğunluk, hız ve akım matrisleri tahmin etmelidir. Bunun için Eşitlik (1), Eşitlik(2), Eşitlik (3), Eşitlik (4), Eşitlik (5) ve Eşitlik (6)'daki κ , η_{high} , η_{low} , τ , δ , v_f , p_{cri} , ρ_{max} , a , γ parametreleri kestirilmelidir.

Gözlem matrisleriyle, METANET tahmin matrislerinin farkını enküçükleyen METANET parametrelerini bulmak için aşağıdaki fonksiyon enküçüklenir.

$$J = \min_x \sum_{m=1}^M \sum_{i=1}^I \sum_{k=1}^N \left[\left((\rho_{m,i}(k) - \hat{\rho}_{m,i}(\bar{x}, k))^2 + \xi (v_{m,i}(k) - \hat{v}_{m,i}(\bar{x}, k))^2 \right) \right] \quad (9)$$

Otoyolda Trafik Akımının Modellenmesi ve Model Kalibrasyonu: İstanbul O1 Örneği

M bağ, I yol kesim sayısı, N ise METANET modelinin tahmin yapacağı toplam zaman adımını göstermektedir. Çalışma bölgesinde ölçülen yoğunluk $\rho_i(k)$ ve gözlenen hız $v_i(k)$ 'dır. $\hat{\rho}_i(\bar{x}, k)$ ve $\hat{v}_i(\bar{x}, k)$ ise METANET'in \bar{x} parametre vektörüne göre tahmin ettiği yoğunluk ve hız değerleridir. \bar{x} parametre vektörü κ , η_{high} , η_{low} , τ , δ , v_f , p_{cri} , p_{max} , a , γ METANET parametrelerini içerir. Model kalibre edilirken \bar{x} parametre vektörü için sınır değerler belirlenir. Bu nedenle kalibrasyon problemi doğrusal olmayan sınır değerli eniyileme problemine dönüşür. Eşitlikteki (ξ) ceza terimi, hız ve yoğunluk ölçeklerinden kaynaklanan skaler büyüklükleri dengelemek için kullanılır.

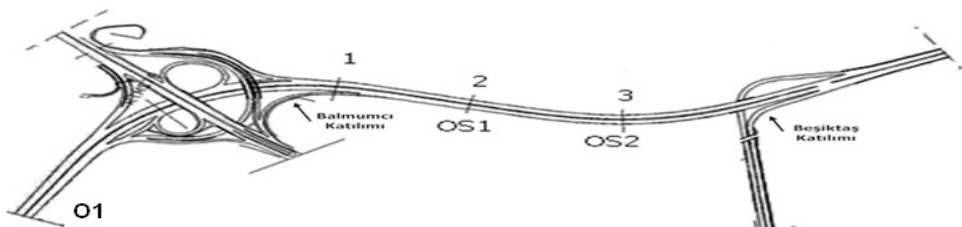
4. ÖRNEK ÇALIŞMA: O1 OTOYOLU

METANET modeli kullanarak trafik akımının modelleneceği çalışma bölgesi; akşam doruk saatlerinde trafik tıkanıklığı ve şok dalgaları gibi trafik olaylarının yaşandığı İstanbul O1 kentiçi otoyolunun Boğaziçi köprüsüne yakın ve trafiğin Avrupa'dan Asya yakasına aktığı 2.5 km'lik kentiçi otoyolu kesimidir. Yol kesiminde Balmumcu ve Beşiktaş olmak üzere iki katılım (Şekil 2) bulunmaktadır.

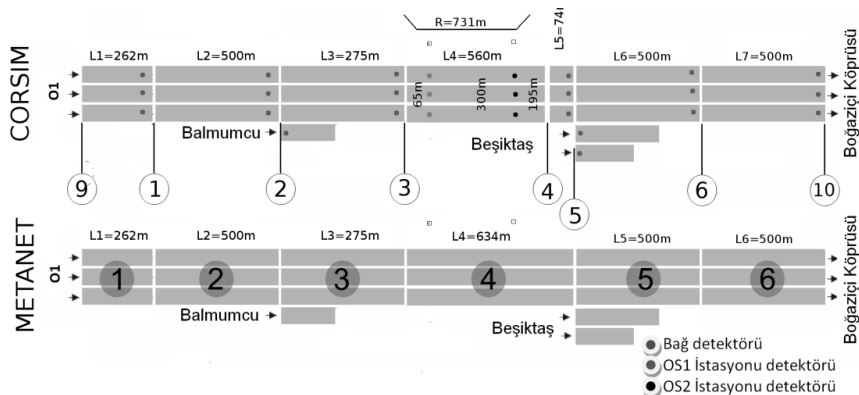
Çalışma bölgesinde değişen trafik akım koşulları nedeniyle, DHS çalışması yapmak trafikte meydana gelecek olaylar ya da koşulları önceden kestiren bir kontrol modelinin kullanılması için tahmin modeline ihtiyaç duyulur. METANET trafik akım modeli tahmin model olarak kullanılabilmesi için modelin kalibre edilmesi gereklidir. Bu nedenle de METANET'in kalibrasyonu bu çalışmadan sonra yapılması istenen trafik kontrol çalışması için önemli bir aşamadır.

Birçok trafik kontrol çalışmasında, çalışma bölgesi üzerinde uygulanacak trafik kontrol uygulamaları ya da benzer senaryoların trafik akımına etkisini değerlendirmek için simülasyon yazılımları kullanılır. Kalibre edilmiş bir simülasyon yazılımı kullanılarak, istenilen zamanda aralığında, herhangi bir kesitten trafik akım verileri üretilebilir. Bu amaçla çalışma bölgesi CORSIM stokastik mikroskopik simülasyon modeli ile benzetilmiştir [16]. Çalışmada Entegre Edilmiş Sistem Trafik Yazılımı TSIS [17] (Traffic Software Integrated System) 6.1 yazılım paketi kullanılmıştır. Bu paket CORSIM için ağ ve parametre girişlerini kolaylaştırın bir arayüsdür ve CORSIM'i kendi içinde barındırmaktadır. CORSIM kullanıcılarına kentiçinde ve otoyollarda taşıtların hareketlerinin modellenmesini, bir başka deyişle taşıtların birbirleriyle, trafik kontrol donanımları ve yol geometrisi ile etkileşiminin modellenmesini sağlamaktadır. CORSIM ile DHS gibi kontrol araçları yardımıyla trafik sürecine müdahale edilebilmektedir. CORSIM'de simülasyon çalışması yapmak için öncelikle çalışma bölgesinin geometrik özelliklerinin yazılıma tanıtılması gereklidir. Bu amaçla İstanbul Büyük Şehir Haritaları [18] ve Google Earth [19]'den yararlanılarak CORSIM'de çalışma bölgесine ilişkin geometrik bilgiler girilmiştir. Çalışma bölgeseine trafik yüklemesi yapmak için, anaakım ve katılım bağlarındaki talep verilerine ihtiyaç duyulur. Arazide, 16.10.2007 tarihinde Avrupa yakasından Asya yakası doğrultusunda geçişlerin gerçekleştiği trafiğin akşam zirve saatinde, 16:23-17:30 saatleri arasında, taşınabilir kameralar ile çekimler yapılmıştır. Daha sonra kayıtlar incelenerek, haritalar ve GPS cihazlarından faydalananarak üç adet gözlem istasyonu belirlenmiştir. Bu istasyonlardan yapılan taşıt sayımları sonucunda trafik akımının türetilmiş değişkenleri (hız, yoğunluk ve akım) hesaplanmıştır. CORSIM ana simülasyon modülü FRESIM ve NETSIM olmak üzere iki simülasyon modelinin bütünlendirilmesiyle oluşmuştur. Bu

çalışma kentiçi otoyolunda uygulanacağı için CORSIM (CORridor SIMulation) simülasyon programının FREESIM simülasyon modeli kullanılmıştır.



Şekil 2. O1 Otoyolu çalışma bölgesi



Şekil 3. Çalışma bölgesinin CORSIM ve METANET geometrisi

Modele giriş noktalarından gözlenen talep değerleri, taşit ve sürücü performansı ile ilgili parametreler girilerek, CORSIM 65 dakikalık verilerle kalibre edilmiştir. CORSIM için ısınma adı verilen ve kesimin yeterli sayıda taşıtlı doymasını sağlayan zaman için bir sınır belirlenmemiş, bunun yerine kesimin doygunluğa ulaşacağı ana kadar ısınması seçeneği tercih edilmiştir. Şekil 3'de OS1 ve OS2 istasyonlarında yapılan gözlemler ile CORSIM'den aynı istasyonlardan alınan hız ve akım verileri Theil's istatistiği kullanılarak karşılaştırılmıştır. Her iki istasyon için ortalama hız ve akım değerleri Theil's istatistiği sırasıyla 0.07 ve 0.08 bulunmuştur. Sıfıra yakın değerler alması karşılaştırılan iki zaman serisinin benzer olduğunu gösterdiğinden, CORSIM kalibrasyonun başarılı olmuştur.

Bir sonraki aşama olan METANET kalibrasyonu için çalışma kesimi Şekil 3 de görüldüğü gibi 6 bağa ayrılmıştır. Her bağıda bir kesim bulunmaktadır. Kalibrasyon için gerekli veriler trafik akımını mikroskopik olarak modelleyen CORSIM'den üretilmiştir. Çalışma bölgesinin CORSIM ağı üzerinde (Şekil 3) METANET geometrisine göre yerleştirilmiş olan dedektörlerden 10 saniye aralıklarla, 75 dakikalık benzetim süresi için 450×6 boyutunda yoğunluk (ρ), hız (v) matrisleri elde edilmiştir. Benzetim süresi gözlem

Otoyolda Trafik Akımının Modellemesi ve Model Kalibrasyonu: İstanbul O1 Örneği

süresinden 10 dakika fazla seçilmiştir. Bundan amaç METANET kalibrasyonu için elde edilen verinin kalibrasyon için serbestlik derecesini artırmaktır.

METANET modeli MATLAB fonksiyon olarak kodlanmıştır. MATLAB ortamına metanet1 adıyla kodlanan bu fonksiyon kalibrasyon parametrelerine karşılık 450x6 boyutunda yoğunluk ($\hat{\rho}$) ve hız (\hat{v}) matrisleri hesaplamaktadır.

Kalibrasyon için kullanılan enküükleme doğrusal olmayan bir amaç fonksiyonuyla yapıldığından, bu tip problemlerin çözümünde ardışık kuadratik programlama, genetik algoritmalar ve patternsearch gibi çözüm algoritmaları kullanılmaktadır [20]. Çalışmada MATLAB içinde yerleşik bulunan fmincon fonksiyonu kullanılmıştır. fmincon MATLAB programı içinde sınır değerli eniyileme algoritmalarının kullanıldığı yerleşik bir fonksiyondur. fmincon ile eniyileme yaparken algoritmanın seçimi kullanıcıya bırakılır [21]. Kalibrasyonda fmincon fonksiyonu kullanmak için MATLAB içinde ayrıca amaç fonksiyonu kodlanmıştır. Bu fonksiyonun görevi eniyileme süreci boyunca metanet1 fonksiyonundan dönen matrislerden fmincon'a sayılı bir değer döndürmesidir.

Bu çalışmada METANET kalibrasyonu için sıralı kuadratik programlama algoritması seçilmiştir. Bunun nedeni, bu algoritmanın doğrusal olmayan kısıtlar ve sürekli amaç fonksiyonlarında başarılı sonuçlar vermesidir [14]. Sıralı quadratik programlama sınır değerli bir eniyileme algoritmasıdır. Algoritma için sınır değerler vektörlerine ilave olarak başlangıç değerleri vektöründe girilmelidir. Başlangıç ve sınır değerler literatürden belirlenerek algoritma girilmiştir. Kalibrasyon süresini kısaltmak için öncelikle dengedeki hız eşitliği (4) içinde bulunan v_f , ρ_{cri} ve a değerleri CORSIM hız (v) ve yoğunluk (ρ) verileri kullanılarak seçilen %95 güven aralığında (4) eşitliği için eğri uydurma yöntemi ile kestirilmiştir. Daha sonra (7) eşitliğindeki fonksiyon başlangıç ve sınır değerler vektörleriyle birlikte enküüklenmiştir.

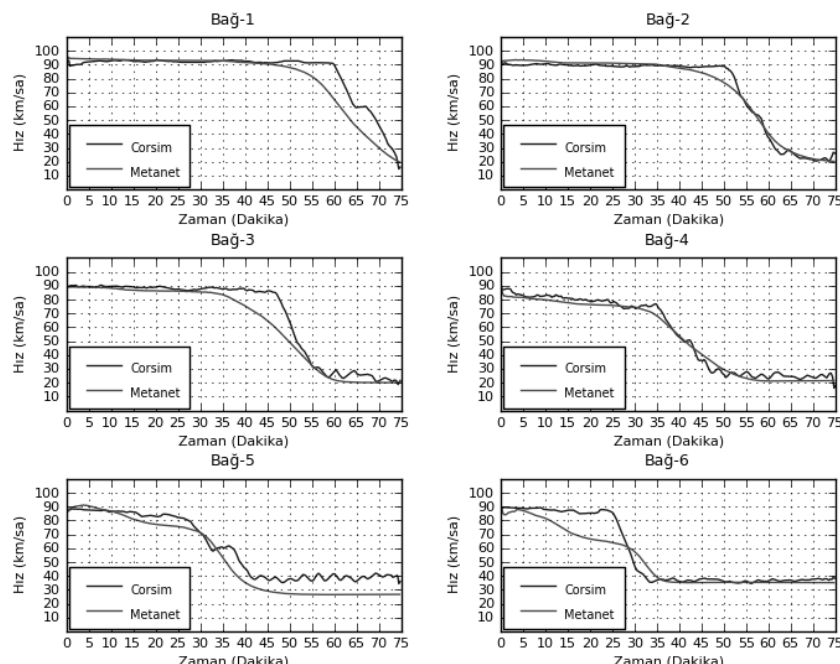
Tablo 1. Kestirilen METANET parametreleri

	κ	η_{low}	η_{high}	τ	Φ	γ
Tüm Bağlar	90	52.491	68.491	7.582	0	2.889
	δ	v_f	p_{cri}	α	p_{max}	
Bağ-1	-	95.19	47.95	3.03	-	
Bağ-2	-	101.1	45.81	1.7952	-	
Bağ-3	0.012	93.6	48.07	2.47	93.076	
Bağ-4	-	86.42	48.45	1.91	-	
Bağ-5	0.012	110.34	42.778	1.5385	143.21	
Bağ-6	-	105.23	30	3	-	

Kalibrasyon sonucunda kestirilen parametrelere ait değerler Tablo 1'de verilmiştir. Tablo 1'deki parametreler ile METANET'in çalışma bölgesindeki bağınlarda yoğunluk, hız ve akım tahminleri ile CORSIM'den elde edilen değerlerin karşılaştırılması, Şekil 4, Şekil 5 ve Şekil 6'da gösterilmiştir. Eğrilerden METANET modelinin CORSIM'e çok yakın tahminler yaptığı görülmektedir. Her bağı ait CORSIM ve METANET model tahminlerinin Theil's U1 istatistiği karşılaştırılması Tablo 2'de görülmektedir.

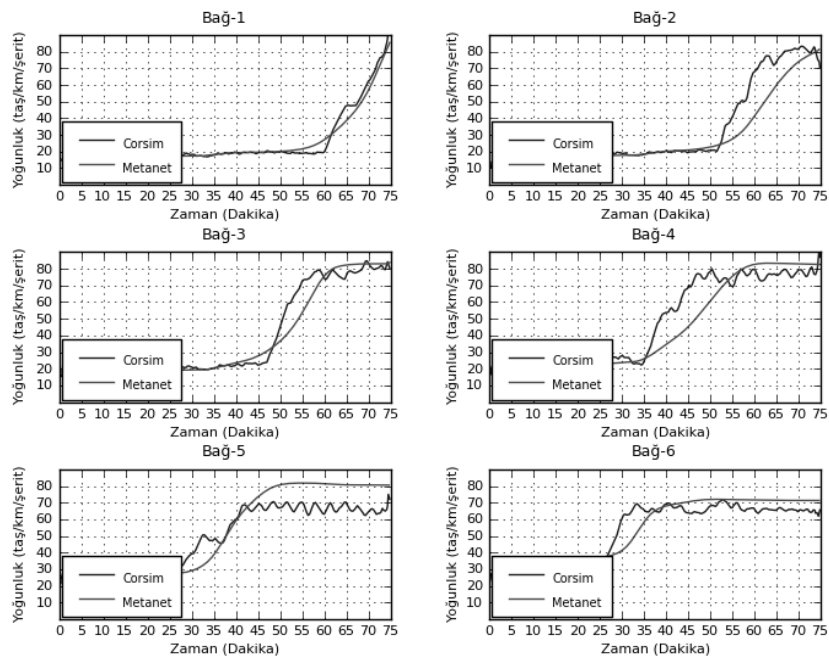
Tablo 2. CORSIM ve METANET Çıktılarının Theil's U1 istatistikleri

	Bağ-1	Bağ-2	Bağ-3	Bağ-4	Bağ-5	Bağ-6
Ortalama Hız	0.0533	0.0229	0.0609	0.0442	0.0717	0.0742
Yoğunluk		0.0465	0.1102	0.0597	0.0864	0.0827
Akım			0.0319	0.0313	0.0484	0.0457
					0.0250	0.0218

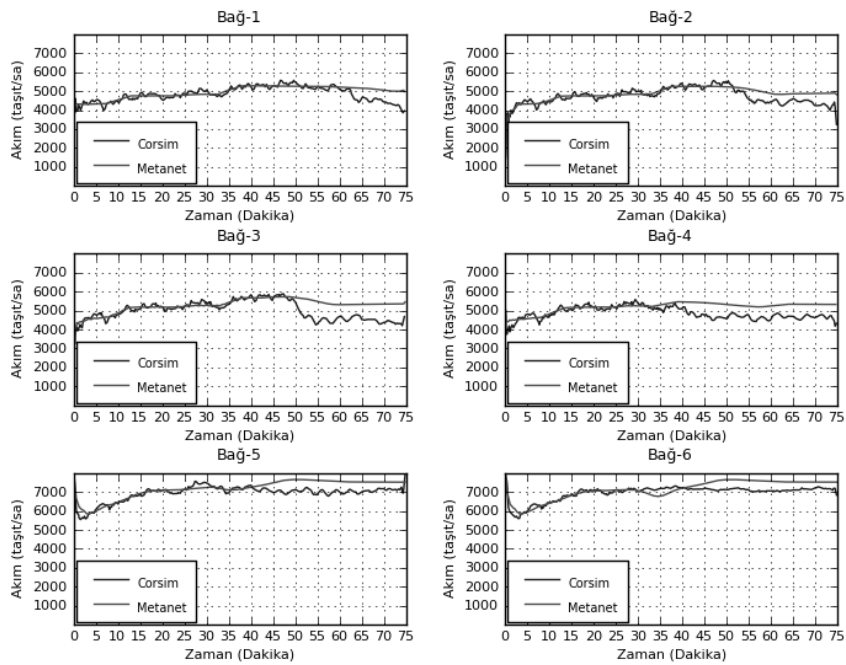


Şekil 4. Kalibre edilmiş METANET'in bağınlardaki ortalama hız tahmini

Otoyolda Trafik Akımının Modellemesi ve Model Kalibrasyonu: İstanbul O1 Örneği



Şekil 5. Kalibre edilmiş METANET'in bağılardaki yoğunluk tahmini



Şekil 6. Kalibre edilmiş METANET'in bağılardaki akım tahmini

Mikrosimülasyon yazılımları daha detaylı sonuçlar üretir ancak daha fazla hesaplama gücü ve zaman ister. Buna karşılık makroskopik modeller daha az hesaplama zamanlarına karşılık daha az detaylı sonuçlar üretir. İki model arasında bir ödünlüşme vardır, bu nedenle her iki model yaklaşımının sonuçlarının birebir örtüşmesi beklenmese de istatistiksel sınımdan geçmesi gereklidir.

5. SONUÇLAR

METANET kalibrasyonunun tamamlanmasıyla çalışma kesimindeki durum değişkenlerinin matematiksel modeli elde edilmiştir. METANET modeli trafik akımındaki kararsızlıklar, şok dalgalarını ve şişeboynu etkilerini yansıtabilemektedir. Bununla birlikte METANET modelinin en kullanışlı yönü, modele DHS'nin değişken olarak eklenebilmesidir. Kalibre edilmiş METANET modeliyle trafik akımı tahmin edilerek model tabanlı kontrol yöntemiyle otoyolda DHS ve katılım denetimi gibi kontrol uygulamaları gerçekleştirmek mümkün olacaktır. Örneğin akım aşağı kesimde meydana gelen ya da gelecek olan bir tikanmanın kestirilmesi ile akım yukarı kesimde bölgeye giren trafiğe sınırlama getirilerek, olusacak şok dalgasının önlenmesi ya da etkisinin azaltılması sağlanabilir. Tahmin modeline dayalı DHS ile trafik akımı işletme ve güvenlik yönünden iyileştirmeler beklenmektedir. Otoyolda DHS ile dinamik eniyi hız kontrol değerinin nümerik yolla bulunma ve uygulaması yönyle, METANET modelinin kalibrasyonu teşvik edici bir çalışmazıdır.

Semboller

v	: Hız (km/sa)
ρ	: Yoğunluk (taş/km/şerit)
k	: zaman adımı
m	: Bağ indisi
i	: Kesim indisi
q	: Akım (taş/sa)
T	: Zaman adım periyodu (sn)
λ	: Şerit sayısı
L	: Kesim uzunluğu (km)
τ	: Zaman sabiti (s)
V_d	: Denedeki hız (km/sa)
η	: Öngörü parametresi (km^2/sa)
κ	: Öngörü parametresi (taş/km)
δ	: Katılım hız faktörü

Otoyolda Trafik Akımının Modellenmesi ve Model Kalibrasyonu: İstanbul O1 Örneği

a	: model parametresi
v_f	: serbest hız,(km/sa)
ρ_{cr}	: kritik yoğunluk (taşit/km/şerit)
v_{ctr}	: Kontrol hızı (km/sa)
α	: Sürücü itaat katsayısı
$\hat{\rho}$: Kestirilmiş yoğunluk (taş/km/şerit)
\hat{v}	: Kestirilmiş hız (km/sa)

Tesekkür

Bu çalışma İstanbul Teknik Üniversitesi Fen Bilimleri Enstitüsü Ulaştırma Doktora Programı bünyesinde tamamlanmış olup Hatice GÖÇMEN DEMİR'e ait doktora tezinden üretilmiştir. Yazarlar çalışmada katkısı bulunan kurum ve kişilere teşekkürlerini sunarlar.

Kaynaklar

- [1] Gedizlioğlu, E., Kentlerimizde Trafik Yönetimi, Türkiye Mühendislik Haberleri, Cilt 6, 434, 17-22, 2004.
- [2] Kim, Y., Traffic Flow Model Applying Dynamic Flow-Density Relations, Fachgeb: Technische Universität München, 2002.
- [3] Kotsialos A., Papageorgiou M., Motorway Network Traffic Control Systems, European Journal of Operational Research , 152, 321-333, 2004.
- [4] Lighthill, M.J., Whitham G. B., On Kinematic Waves. II. A Theory of Traffic Flow on Long Crowded Roads, Proceedings of the Royal Society, London, 1955.
- [5] Richards, P., Shock Waves on the Highway, Operations Research, 4, 42-51, 1956.
- [6] Greenshields, B., A study of Traffic Capacity, %1 içinde Highway Research Board-National Research Council, Washington DC, 1935.
- [7] Payne, H., Models of Freeway Traffic Flow, In Simulation Council Proc, 1971.
- [8] Papageorgiou, M., Some Remarks On Macroscopic Flow Modeling, Transportation Research A, 4, 32, 323-329, 1998.
- [9] Daganzo, C., Requiem for Second-Order Fluid Approximations of Traffic Flow, Transportation Research B, 29, 4, 277-286, 1995.
- [10] Bellemans, T., Traffic Control on Motorways,:Doktora, Katholieke Universiteit Leuven, 2003.

- [11] Zhang, H., On the Consistency of a class of traffic models, *Transportation Research Part B:Methodological*, 1, 37, 101-105, 2003.
- [12] Papageorgiou M., Blosseville J. M., Hadj-Salem H., Modelling and real time control of traffic flow on the southern part of boulevard périphérique in Paris, *Modelling Transportation Research A*, 5, 25, 345-359, 1990.
- [13] Hegyi, A., Model Predictive Control for Integrating Traffic Control Measures, Doktora, Delft University of Technology, 2004.
- [14] Hegyi, A., De Schutter, B., Heelendoorn, J., MPC-Based Optimal Coordination of Variable Speed Limits To Shock Waves In Freeway Traffic Suppress, *Proceedings of the American Control Conference*, Denver, Colorado, 2003.
- [15] Burger, M., Hegyi, A., Schutter, B., De, Suitability of different mean speeds for model-based traffic control, *Proceedings of the 87th Annual Meeting of Transportation Research Board*, Washington, 2010.
- [16] ITT Industries, CORSIM User Guide, Colorado Springs: Systems Division.
- [17] ITT Industries, TSIS User Guide Version 6.01, McTrans, Colorado Springs: Systems Division.
- [18] İBB, İstanbul Şehir Rehberi, 2007. [Çevrimiçi]. url: <http://sehirrehberi.ibb.gov.tr>. [08 10 2007 tarihinde erişilmiştir].
- [19] Google Inc., Google Earth, 2007. [Çevrimiçi]. url: www.googleearth.com. [01 10 2007 tarihinde erişilmiştir].
- [20] Pardalos P., Resende M., *Handbook of Applied Optimization*, Oxford, Oxford University Press, 2002.
- [21] Mathworks, MATLAB Optimization Toolbox, 2009.

